



Instituto Tecnológico  
GeoMinero de España

PROYECTO MAGNA TIETAR

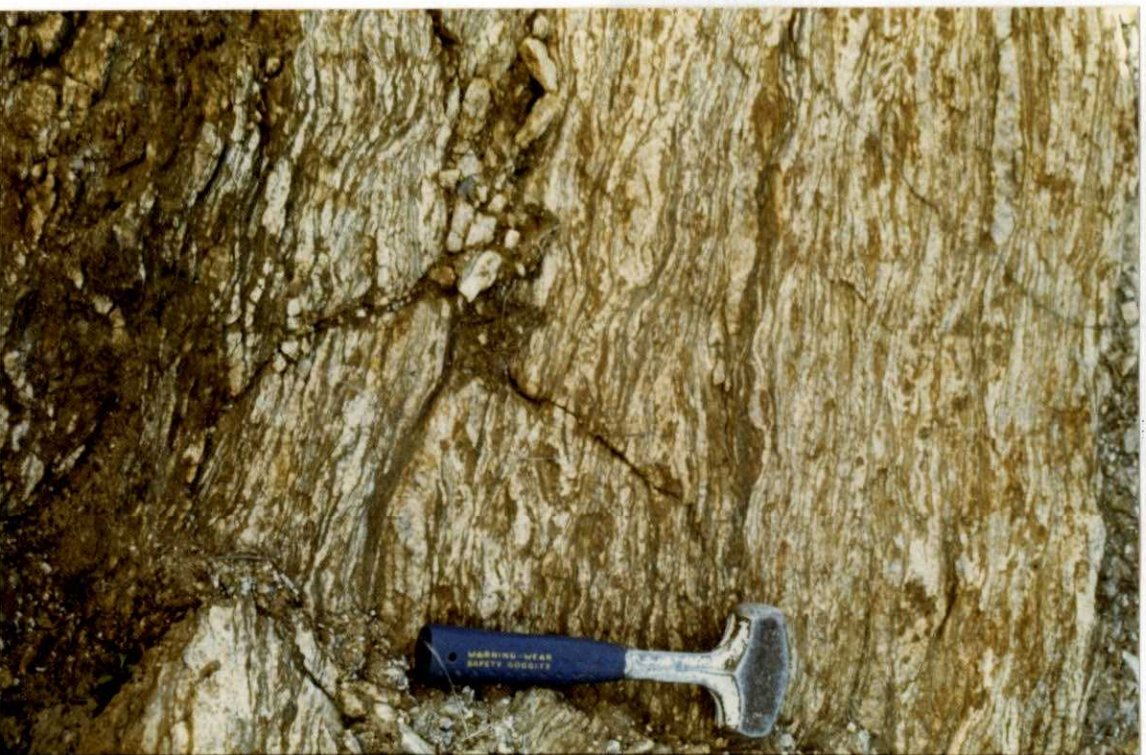
ALBUM FOTOGRAFICO

HOJA Nº 656 (17-26)

GALVEZ



MINISTERIO DE INDUSTRIA Y ENERGIA



MP-9094

Metasedimentos migmatizados con granates rodeados por SP.  
Sector NE.



MP-9095

Ortoneises metagraníticos leucocráticos de grano medio con-  
niveles aplitoides. Granates rodados por SP. Sector NE.



MP-9096

Granitoide, biotítico, porfidico de tipo Argés-Guadamur  
con agregados de cordierita, afectados por M2



MP-9097

Granitoide inhomogéneo biotítico-cordierítico, con agregados de cuarzo y enclaves metamórficos.



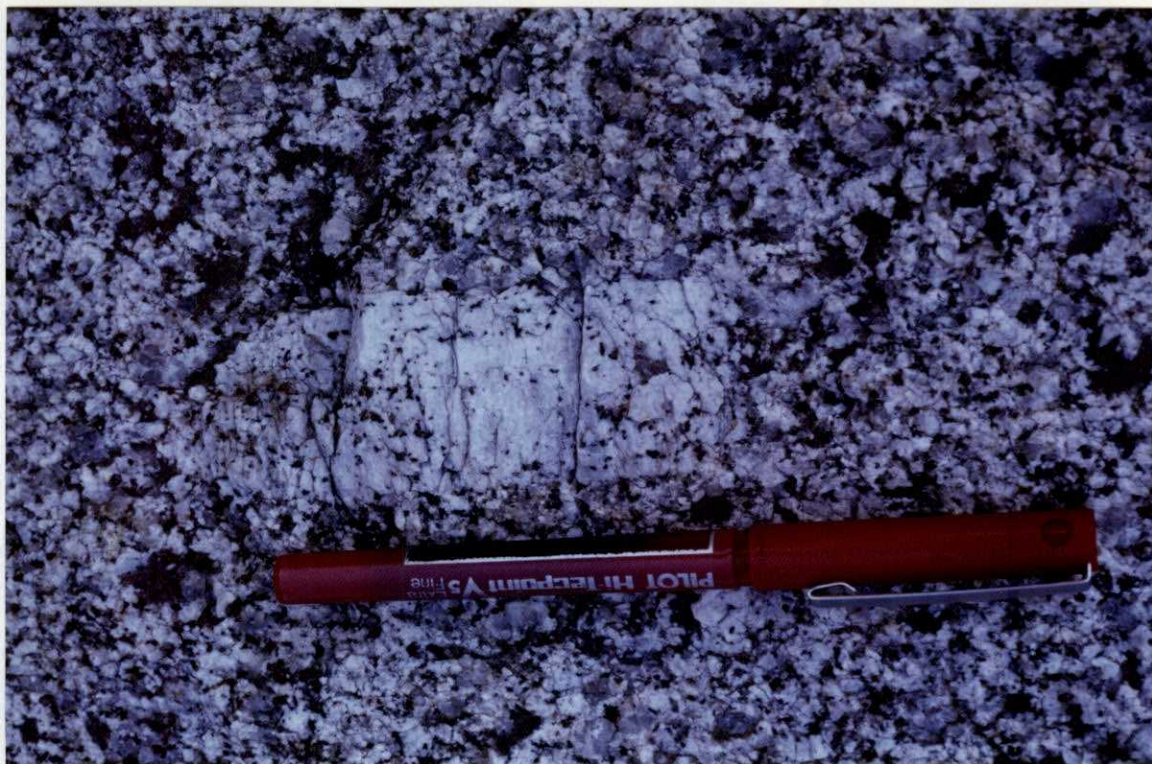
MP-9098

Granitoide inhomogéneo biotítico-cordierítico, afectado por la banda de deformación dúctil frágil asociada a la Falla de Toledo (Banda Milonítica).



MP-9099

Granitoide inhomogéneo biotítico-cordierítico alterado, discordante bajo materiales mesozoico-paleógenos.



**SC 9500**

Granito (monzogranito) biotítico ± cordierítico con megacristales de feldespato-K (Tipo Mora-Menasalbas). Obsérvese el megacristal de feldespato-K con inclusiones de biotitas en disposición concéntrica orientadas según el crecimiento del cristal ("inclusiones Frasl") y las microfracturas perpendiculares al eje mayor del cristal. También se aprecian los cristales y/o agregados globulosos de cuarzo milimétricos a centimétricos característicos de esta variedad.



**SC 9501**

Granito (monzogranito) biotítico porfídico (Tipo Gálvez) en el que se aprecia la textura porfídica típica de este granito. Los megacristales aparecen orientados N95°E (N de Gálvez).



**SC 9502**

Vista del afloramiento de granitos (monzogranitos) al W de Cerro Blanco (E de San Martín de Monalbán). Este afloramiento se caracteriza por la escasez de discoidesado y por el desarrollo de superficies "lisos". Punto favorable para la extracción de grandes bloques catables.



**SC 9503**

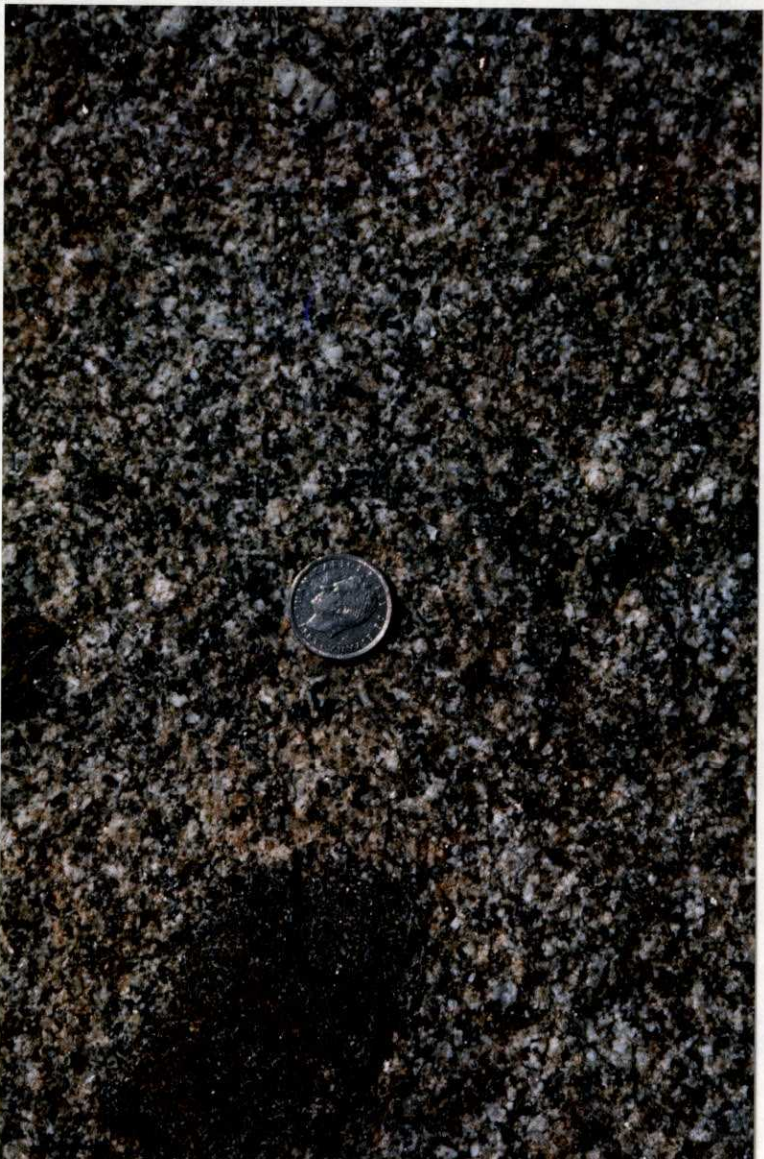
Idem anterior en la que se aprecia un enclave microgranado (tonalítico) con geometría irregular y bordes netos.





**SC 9504**

Detalle del granito (monzogranito) porfídico biotítico + cordierita de la fotografía SC 9502. Se aprecia el carácter porfídico y pequeños enclaves microgranados.



**SC 9505**

Aspecto de la granodiorita de San Martín de Montalbán. La roca presenta una textura equigranular hipidiomórfica de grano medio y escasos megacristales de feldespato-K. Estas granodioritas muestran un color más oscuro que los granitos de su entorno debido al mayor contenido modal de biotita (muestra SC 9022)



**SC 9506**

Aspecto de campo del granito y/o monzogranito biotítico de grano medio-fino con escasos megacristales de feldespato-K y con  $\pm$  moscovita,  $\pm$  cordierita (Tipo San Pablo). Obsérvese su coloración clara, su textura equigranular, los pequeños 'grumos' de biotitas y los cuarzos globulosos, así como el enclave centimétrico (Ermita de Jumea, SW de Gálvez).



**SC 9507**

Aspecto de un dique de pórfidos graníticos en los afloramientos del Río Ripas (NW de Gálvez). Obsérvese el tamaño centimétrico de los fenocristales de feldespato-K orientados según la dirección del dique.



**SC 9508**

Aspecto de campo de la Falla Normal de Toledo ("Banda milonítica") aflorante en la carretera de Puebla de Montalbán a San Martín de Montalbán (punto kilométrico 31, 600). Se aprecia el buzamiento de 30° hacia el Sur y la trituración milonítico-cataclástica asociada al movimiento de la misma. Este accidente separa los materiales del Dominio migmatítico (al Norte) del monzogranito biotítico tipo Mora-Menasalbes (al Sur).



**SC 9509**

Detalle de la foto anterior en la que se aprecia la foliación milonítica buzante al Sur, paralela al plano de falla. La lineación de estiramiento mineral es de 25° en sentido N190°E.



**SC 9510**

Detalle del granito (monzogranito) biotítico porfídico  $\pm$  cordierita (Tipo Gálvez) a unos 40 m al Sur de la Falla Normal de Toledo ("Banda milonítica") en el A<sup>o</sup> de las Fuentes, al Norte de Gálvez. Obsérvese la deformación frágil (cataclástica) del granito marcada por una red de fracturas rellenas de sílice y productos cloríticos. Este deformación produce rotura y/o trituración-recristalización del cuarzo y rotura y/o trituración de los feldespatos, así como un alteración generalizada de la biotita a clorita,  $\pm$  epidota,  $\pm$  óxidos Fe, etc.



**SC 9511**

Aspecto de la deformación milonítico-cataclástica asociada a la "Banda milonítica" en el mismo afloramiento de la foto anterior (el protolito de esta milonita probablemente corresponde a un granitoide del tipo Argés-Guadamur). Obsérvese la foliación milonítica y la inyección de diferenciados cuarzofeldespáticos paralelos a ella.



**SC 9512**

Afloramiento situado a 50 m al Norte de la Falla Normal de Toledo ("Banda milonítica") en el corte del A<sup>º</sup> de las Fuentes (idem a las fotos anteriores). La roca corresponde a los granitoides Argés-Guadamur (Dominio migmatítico). Obsérvese la foliación milonítica ± cataclástica de la mesostasis y la rotura de los megacristales. A medida que nos alejamos de la Falla la deformación se va haciendo menos penetrativa (caso de esta foto y de la SC 9510).































095





**SC 9502**

Vista del afloramiento de granitos (monzogranitos) al W de Cerro Blanco (E de San Martín de Montalbán). Este afloramiento se caracteriza por la escasez de diaclasado y por el desarrollo de superficies "lisos". Punto favorable para la extracción de grandes bloques caterables.



**SC 9503**

Idem anterior en la que se aprecia un enclave microgranudo (tonalítico) con geometría irregular y bordes netos.



**SC 9504**

Detalle del granito (monzogranito) porfídico biotítico ± cordierita de la fotografía SC 9502. Se aprecia el carácter porfídico y pequeños enclaves microgranudos.



**SC 9505**

Aspecto de la granodiorita de San Martín de Montalbán. La roca presenta una textura equigranular hipidiomórfica de grano medio y escasos megacristales de feldespatos-K. Estas granodioritas muestran un color más oscuro que los granitos de su entorno debido al mayor contenido modal de biotita (muestra SC 9022)



**SC 9506**

Aspecto de campo del granito y/o monzogranito biotítico de grano medio-fino con escasos megacristales de feldespato-K y con  $\pm$  moscovita,  $\pm$  cordierita (Tipo San Pablo). Obsérvese su coloración clara, su textura equigranular, los pequeños 'grumos' de biotitas y los cuarzos globulosos, así como el enclave centimétrico (Ermita de Junea, SW de Gálvez).





**SC 9507**

Aspecto de un dique de pórfidos graníticos en los afloramientos del Río Ripas (NW de Gálvez).  
Obsérvese el tamaño centimétrico de los fenocristales de feldsepató-K, orientados según la dirección  
del dique.



**SC 9508**

Aspecto de campo de la Falla Normal de Toledo ("Banda milonítica") aflorante en la carretera de Puebla de Montalbán a San Marín de Montalbán (punto kilométrico 31, 600). Se aprecia el buzamiento de 30° hacia el Sur y la trituración milonítico-cataclástica asociada al movimiento de la misma. Este accidente separa los materiales del Dominio migmatítico (al Norte) del monzogranito biotítico tipo Mora-Menasalbas (al Sur).



**SC 9509**

Detalle de la foto anterior en la que se aprecia la foliación milonítica buzante al Sur, paralela al plano de falla. La lineación de estiramiento mineral es de  $25^\circ$  en sentido N190°E.



**SC 9510**

Detalle del granito (monzogranito) biotítico porfídico  $\pm$  cordierita (Tipo Gálvez) a unos 40 m al Sur de la Falla Normal de Toledo ("Banda milonítica") en el A<sup>o</sup> de las Fuentes, al Norte de Gálvez. Obsérvese la deformación frágil (cataclástica) del granito marcada por una red de fracturas rellenas de sílice y productos cloríticos. Esta deformación produce rotura y/o trituración-recristalización del cuarzo y rotura y/o trituración de los feldespatos, así como una alteración generalizada de la biotita a clorita,  $\pm$  epidota,  $\pm$  óxidos Fe, etc.



**SC 9511**

Aspecto de la deformación milonítico-cataclástica asociada a la "Banda milonítica" en el mismo afloramiento de la foto anterior (el protolito de esta milonita probablemente corresponde a un granitoide del tipo Argés-Guadamur). Obsérvese la foliación milonítica y la inyección de diferenciados cuarzo-feldespáticos paralelos a ella.



**SC 9512**

Afloramiento situado a 50 m al Norte de la Falla Normal de Toledo ("Banda milonítica") en el corte del A<sup>o</sup> de las Fuentes (ídem a las fotos anteriores). La roca corresponde a los granitoides Argés-Guedemur (Dominio migmatítico). Obsérvese la foliación milonítica ± cataclástica de la mesostesis y la rotura de los megacristales. A medida que nos alejamos de la Falla la deformación se va haciendo menos penetrativa (caso de esta foto y de la SC 9510).